



رفتار ارتفاع سد پتانسیل در واکنش همجوشی یون‌های سنگین

مهرداد دوانلو، امید ناصر قدسی، سید محمد متولی*

گروه فیزیک هسته‌ای، دانشکده علوم پایه، دانشگاه مازندران، صندوق پستی: ۴۷۴۱۵-۴۱۶، بابلسر - ایران

*Email: motavalli@umz.ac.ir

مقاله‌ی پژوهشی

تاریخ دریافت مقاله: ۱۴۰۰/۲/۸ تاریخ پذیرش مقاله: ۱۴۰۰/۴/۲۶

چکیده

با توجه به اهمیت عدم تقارن ماده هسته‌ای بر روی برهم‌کنش یون‌های سنگین، در این تحقیق سیستم‌های برهم‌کنشی را به سه دسته مختلف ایزوتوپی، ایزوباری و ایزوتونی تقسیم و مشخصات سد همجوشی را برای هر گروه به صورت مجزا با استفاده از ۲۷ نسخه مختلف فرمالیزم مجاورتی مورد بررسی قرار داده‌ایم. بررسی انجام شده نشان می‌دهد، جهت محاسبه و همچنین پیش‌بینی مشخصات سد همجوشی برهم‌کنش یون‌های سنگین مناسب‌تر است به جای استفاده از یک نسخه منفرد، از نسخه‌های مختلف فرمالیزم مجاورتی برحسب درجات آزادی مختلف ایزواسپینی استفاده نمود.

کلیدواژه‌ها: سد همجوشی، مدل مجاورتی، تقارن ایزاواسپین، برهم‌کنش یون‌های سنگین، عدم تقارن هسته

Behavior of potential barrier height in heavy ion fusion reactions

M. Davanlou, O.N. Ghodsi, S.M. Motevalli*

Department of Nuclear Physics, Faculty of Sciences, University of Mazandaran, P.O.Box: 47415-416, Babolsar - Iran

Research Article

Received 28.4.2021, Accepted 17.7.2021

Abstract

Considering the importance of nuclear asymmetry matter in heavy-ion interactions, in the present study, we have divided the interacting systems into three different groups, including isotopic, isobaric, and isotonic systems, and examined the characteristics of the fusion barrier for each group separately using 27 different versions of proximity formalism. Our results show that for calculating and predicting the fusion barrier characteristics in heavy ions interactions, it is more proper to use different versions of proximity formalism, instead of a single performance, based on the isospin degrees of freedom.

Keywords: Fusion barrier, Proximity model, Isospin symmetry, Heavy ions interactions, Nucleus asymmetry



۱. مقدمه

هدف اصلی در این تحقیقات ارایه مناسب‌ترین نسخه پتانسیل مجاورتی به گونه‌ای است که بتواند مشخصات سد همچو شی را در بازه گسترهای از عدد جرمی برای هسته‌های پرتابه و هدف در بهترین توافق با داده‌های تجربی تولید کند [۱۲، ۱۳]. این نسخه‌ها از پتانسیل مجاورتی جهت پیش‌بینی مقادیر ارتفاع سد و سطح مقطع همچو شی سیستم‌های برهمنشی بسیار مفید می‌باشند.

ضریب کشش سطحی یکی از مهم‌ترین پارامترهای فرمالیزم مجاورت است که مقدار آن به عدد جرمی و اتمی هسته‌های برخوردکننده وابسته است. به همین جهت با استفاده از این فرمالیزم تاکنون تحقیقات گسترهای در خصوص تأثیر تقارن‌های ایزواسپینی بر روی مشخصات سد همچو شی انجام گرفته است. پژوهش‌های انجام گرفته بر روی هسته‌های برخوردکننده متقاضی و نامتقارن اهمیت این درجات آزادی را بر روی مشخصات سد همچو شی نشان می‌دهند، همچنین بررسی سیستم‌های ایزوتوبیکی یک وابستگی خطی بین سطح مقطع همچو شی و پارامتر N/Z نشان می‌دهد [۱۶]. N و Z به ترتیب عدد نوترنونی و اتمی هسته مرکب می‌باشند.

اکثر نسخه‌های پتانسیل مجاورتی که تاکنون ارایه شده‌اند، مشخصات سد همچو شی را برای گروهی از سیستم‌های برهمنشی مطابق با داده‌های تجربی باز تولید می‌کنند، اما هیچ یک از این مدل‌ها قادر به توصیف همزمان این مشخصات برای کلیه واکنش‌هایی که تاکنون مورد اندازه‌گیری قرار گرفته‌اند نیستند. از این‌رو در این تحقیق به جای بررسی داده‌های تجربی سد همچو شی برای کلیه واکنش‌ها، این کمیت را در بازه‌های متفاوت عدد جرمی مورد مطالعه قرار داده‌ایم. همچنین با توجه به اهمیت تقارن‌های ایزواسپینی بر روی مشخصات نظری واکنش‌های همچو شی، مشخصات تجربی سد همچو شی برای تعداد ۲۷۰ واکنش را با تقسیم‌بندی به سه دسته ایزوباری، ایزوتوبی و ایزوتونی در بازه‌های متفاوت جرمی توسط ۲۷ نسخه مختلف پتانسیل مجاورتی به صورت سیستماتیک مورد مطالعه قرار داده‌ایم. در این پژوهش، از اثرات تغییر شکل هسته صرف نظر شده است.

۲. نظریه پتانسیل برهمنشی

پتانسیل برهمنشی کل، $V_N(r)$ ، بین هسته‌های هدف و پرتابه یکی از مهم‌ترین فاکتورها در توصیف واکنش واپاشی می‌باشد. این پتانسیل شامل دو قسمت جاذبه‌ای هسته‌ای کوتاه برد $V_N(r)$ و دافعه‌ی کولنی بلندبرد به فرم رابطه (۱) می‌باشد:

$$V_T(r) = V_N(r) + \frac{Z_1 Z_2 e^2}{r} \quad (1)$$

مطالعه واکنش همچو شی یون‌های سنگین یکی از پدیده‌های مورد توجه محققین در چند دهه‌ی اخیر می‌باشد. برخی از این مطالعات متوجه بررسی ویژگی‌های فرایند نزدیک شدن دو هسته‌ی هدف و پرتابه و همچنین پدیدار شدن برهمنش میان آن‌ها به صورت واکنش همچو شی می‌باشد. فرایند تشکیل هسته مرکب به مجموع برهمنش‌های بین نوکلئون‌های هسته هدف و پرتابه وابسته است. البته از نقطه نظر آزمایشگاهی وقوع واکنش همچو شی تنها کanal موجود برای هسته‌های برخوردکننده نمی‌باشد. به طور کلی رخداد کanal‌هایی نظیر شبکه شکافت و پراکندگی در قبل از همپوشانی کامل دو هسته، از جمله مواردی است که در رقابت با کanal همچو شی کامل هسته‌های هدف و پرتابه حائز اهمیت است. سطح مقطع‌های همچو شی به همراه متوسط تکانه زاویه‌ای کمیت‌هایی هستند که به صورت تجربی برای این نوع واکنش‌ها قابل اندازه‌گیری می‌باشند. یکی از کمیت‌هایی که با استفاده از داده‌های سطح مقطع تجربی همچو شی استخراج می‌شود کمیت توزیع سد می‌باشد. رفتار واکسته به انرژی این کمیت منجر به اندازه‌گیری ارتفاع سد همچو شی می‌گردد [۱]. با توجه به استخراج ارتفاع سد با استفاده از داده‌های تجربی سطح مقطع به این کمیت ارتفاع سد تجربی نیز گفته می‌شود. بر این اساس یکی از موارد مورد توجه در مطالعات برهمنش یون‌های سنگین، بررسی مشخصات سد همچو شی می‌باشد و تاکنون تلاش‌های زیادی برای پارامترسازی این کمیت انجام شده است [۱-۷]. عموماً از اهداف این پارامترسازی‌ها ارایه عبارتی مناسب جهت پیش‌بینی مقادیر سد پتانسیل در کل محدوده جرمی می‌باشد. استفاده از روابط پارامترسازی شده برای سد پتانسیل، مسیر را برای طراحی آزمایش‌های جدید و رسیدن به تخمین‌های دقیق‌تر از سطح قطعه همچو شی، هموارتر می‌سازد.

پتانسیل کل در فرایند همچو شی از دو بخش دافعه کولنی و جاذبه هسته‌ای تشکیل شده است که عموماً ارتفاع سد پتانسیل در فواصلی که سطح دو هسته در مجاورت یکدیگر قرار می‌گیرند تشکیل می‌شود. با توجه به این که بخش‌های کولنی و هسته‌ای پتانسیل برهمنشی به مقادیر نوترنون و پروتون‌های برهمنشی وابسته است، از این‌رو پارامترسازی ارتفاع سد پتانسیل معمولاً بر حسب کمیت‌هایی وابسته به عدد جرمی و عدد اتمی انجام می‌گیرد [۷-۱۰]. یکی از فرمالیزم‌هایی که برای محاسبه بخش هسته‌ای پتانسیل کل به صورت گسترهای استفاده شده است پتانسیل مجاورتی می‌باشد [۱۱]. پارامترسازی مشخصات سد همچو شی با استفاده از این فرمالیزم یکی از موارد مطالعاتی مورد توجه در سال‌های اخیر بوده است.



دارای فرم پتانسیل وودز- سکسونی جهت محاسبه پتانسیل هسته‌ای می‌باشد، جزیيات ریاضی این نسخه در مرجع ۳۰ معرفی شده‌اند.

۳. محاسبات و نتایج

یکی از کمیت‌های مهم در مطالعات برهم‌کنش یون‌های سنگین مقادیر سد همجوشی می‌باشد، که این کمیت در محاسبه سطح مقطع همجوشی به ویژه در انرژی‌های بزرگ‌تر از ارتفاع سد همجوشی بسیار تأثیرگذار است. از این‌رو مدلی که قادر به محاسبه مقادیر این کمیت در بهترین توافق با داده‌های آزمایشگاهی باشد از دیدگاه نظری مدلی کارآمدتر خواهد بود. به همین جهت در ابتدا با استفاده از مقادیر تجربی مشخصات سد همجوشی ۲۷۰ واکنش مورد نظر، ارتفاع سد همجوشی را به صورت منظم و هدفمند با استفاده از ۲۷ نسخه فرمالیزم مجاورتی مورد مطالعه قرار داده‌ایم. برای یافتن بهترین نسخه تقریبی مقادیر خطای نسبی را با استفاده از رابطه (۷)،

$$X^{\gamma} = \sqrt{\frac{1}{N_{\gamma}} \sum i \left(\frac{V_i^{The.} - V_i^{Exp.}}{V_i^{The.} + V_i^{Exp.}} \right)^2} \quad (7)$$

برای هر یک از این نسخه‌ها محاسبه نموده‌ایم. در این رابطه $V_{Exp.}$ و $V_{The.}$ به ترتیب مقادیر تئوری و تجربی سد همجوشی می‌باشند و N_{γ} تعداد کل سیستم‌های مورد مطالعه می‌باشند. نتایج حاصل محاسبات در شکل ۱ نشان داده شده‌اند.

جدول ۱. ضرایب γ_{\circ} و K_s برای نسخه‌های مختلف پتانسیل مجاورتی

γ -set	γ_{\circ} [MeV fm $^{-\gamma}$]	K_s	Ref.
γ -MS ۱۹۶۷	۰,۹۵۱۷	۱,۷۸۲۶	[۱۴]
γ -Ms ۱۹۶۶	۱,۰۱۷۳۴	۱,۷۹	[۱۵]
γ -MN ۱۹۷۶	۱,۴۶۰۷۳۴	۴,۰	[۱۶]
γ -KNS ۱۹۷۹	۱,۲۴۰۲	۲,۰	[۱۷]
γ -MN-I ۱۹۸۱	۱,۱۷۵۴	۲,۲	[۱۸]
γ -MN-II ۱۹۸۱	۱,۲۷۳۲۶	۲,۵	[۱۸]
γ -MN-III ۱۹۸۱	۱,۲۵۰۲	۲,۴	[۱۸]
γ -RR ۱۹۸۴	۰,۹۵۱۷	۲,۶	[۱۹]
γ -MN ۱۹۸۸	۱,۲۴۹۶	۲,۳	[۲۰]
γ -MN ۱۹۹۵	۱,۲۵۲۸۴	۲,۳۴۵	[۲۱]
γ -PD-LDM ۲۰۰۳	۱,۰۸۹۴۸	۱,۹۸۳۰	[۲۲]
γ -PD-NLD ۲۰۰۳	۰,۹۱۸۰	۰,۷۵۴۶	[۲۲]
γ -PD-LSD ۲۰۰۳	۰,۹۱۱۴۴۵	۲,۲۹۳۸	[۲۲]

یکی از بخش‌های مهم در این پتانسیل، بخش برهم‌کنش هسته‌ای است، که در این کار تحقیقاتی از فرمالیزم مجاورتی برای محاسبه آن استفاده نموده‌ایم [۱۱]. در این فرمالیزم پتانسیل هسته‌ای با استفاده از رابطه (۲) محاسبه می‌شود:

$$V_N(r) = 4\pi\gamma b\bar{R}\phi(\xi) \quad (2)$$

که در آن γ ضریب کشش سطحی و پارامتر تأثیرگذار در فرمالیزم پتانسیل مجاورتی می‌باشد. این ضریب از رابطه (۳) محاسبه می‌شود [۱۰]:

$$\gamma = \gamma_{\circ} [1 - k_s A_s^{\gamma}] \quad (3)$$

در این رابطه، A_s و Z به ترتیب عدد نوترونی و اتمی هسته مرکب می‌باشند. همچنین k_s و γ_{\circ} به ترتیب پارامترهای عدم تقارن و ضریب کشش سطحی می‌باشند. میانگین شعاع انجنا، \bar{R} ، از رابطه (۴) محاسبه می‌شود:

$$\bar{R} = \frac{(c_1 c_2)}{(c_1 + c_2)} \quad (4)$$

که C_i شعاع مؤثر هسته‌های پرتابه و هدف می‌باشد:

$$C_i = R_i \left[1 - \left(\frac{b}{R_i} \right)^{\gamma} \right], (i = 1, 2) \quad (5)$$

در این رابطه:

$$R_i = 1,28 A_i^{\frac{1}{\gamma}} - 0,76 + 0,8 A_i^{-\frac{1}{\gamma}} \quad (6)$$

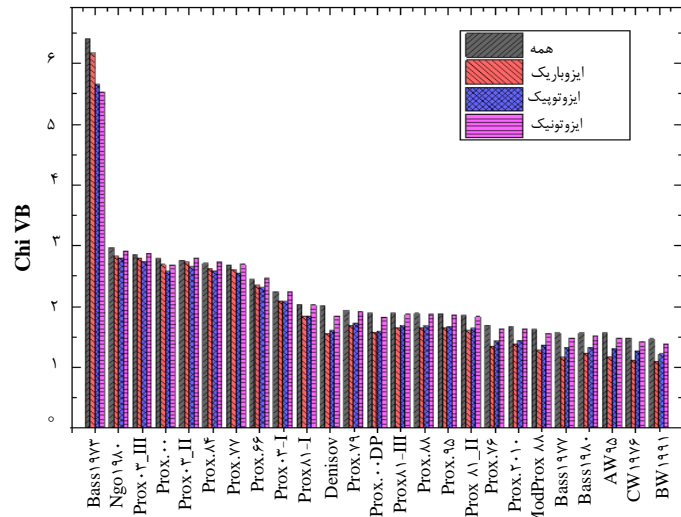
و A_i عدد جرمی می‌باشد. در رابطه (۲)، b پارامتر انجنای سطح است و مقدار آن ۱ fm ۱ اختیار می‌شود. همچنین $\phi(\xi)$ تابع جهانی نامیده می‌شود. در این تابع پارامتر ξ برابر S/b است و S فاصله بین سطوح دو هسته برخورده می‌باشد [۱۰]. از پارامترهای مهم در فرمالیزم مجاورتی، پارامترهای عدم تقارن و ضریب کشش سطحی می‌باشند که تاکنون مقادیر مختلفی برای این پارامترها پیشنهاد شده است. مقادیر این پارامترها برای نسخه‌های مختلف پتانسیل مجاورت در جدول ۱ لیست شده‌اند. سایر نسخه‌های پتانسیل مجاورت شامل BW۱۹۹۱، CW۷۶، prox۲۰۱۰، prox00DP، prox۸۱، Dutt۲۰۱۱، Ngo۱۹۸۰، Denisov، AW۹۵ و نسخه‌های Bass شامل ۷۳، ۷۸ و ۸۰ می‌باشند که در مراجع مختلف معرفی شده‌اند. لازم به ذکر است نسخه BW۱۹۹۱ [۱۴-۳۲]



جدول ۲. مقادیر خطای نسبی نسخه‌های مختلف مجاورتی در پیش‌بینی مقادیر سد همجوشی برای واکنش‌های مختلف در دو بازه $Z_1, Z_2 < 1000$ و $Z_1, Z_2 > 1000$

	$Z_1, Z_2 < 1000$	$Z_1, Z_2 > 1000$	مدل مجاورت	همه - سیستم
Prox.۷۷	۲,۳۰۲۴	۲,۳۱۰۸		۲,۲۴۰۲
Prox.۶۶	۲,۱۰۵۳	۲,۱۱۳۷		۲,۰۴۳۱
Prox.۷۶	۱,۵۸۵۸	۱,۶۱۰۱		۱,۳۹۴۸
Prox.۷۹	۱,۷۰۳۲	۱,۷۱۰۰		۱,۶۵۲۴
Prox.۸۱-I	۱,۷۷۱۹	۱,۷۸۰۹		۱,۷۰۴۵
Prox.۸۱-II	۱,۶۵۰۰	۱,۶۶۳۴		۱,۵۴۷۸
Prox.۸۱-III	۱,۶۷۲۶	۱,۶۸۴۹		۱,۵۷۹۵
Prox.۸۴	۲,۷۱۳۳	۲,۳۳۷۵		۱۹,۷۴۸۷
Prox.۸۸	۱,۶۷۰۴	۱,۶۸۳۳		۱,۵۷۱۸
Prox.۹۵	۱,۶۶۷۹	۱,۶۸۰۸		۱,۵۷۰۰
Prox.۰-۳-I	۱,۹۲۲۳	۱,۹۳۹۸		۱,۸۷۵۸
Prox.۰-۳-II	۲,۳۷۴۱	۲,۳۹۲۶		۲,۲۳۳۷
Prox.۰-۳-III	۲,۸۵۴۹	۲,۴۶۵۵		۱۹,۷۶۰۸
ModProx۸۸	۱,۶۳۵۴	۱,۶۹۱۲		۱,۱۴۵۸
Prox.۲۰۱۰	۱,۸۱۳۲	۱,۸۳۱۰		۱,۶۷۶۹
Prox...	۲,۷۸۱۷	۲,۸۲۲۲		۲,۳۷۸۳
Prox...DP	۱,۸۹۰۱	۱,۸۹۵۸		۱,۸۴۷۴
Bass۱۹۷۳	۶,۴۲۰۴	۶,۶۹۲۹		۳,۸۷۰۴
Bass۱۹۷۷	۱,۵۶۵۳	۱,۵۶۵۳		۱,۴۴۹۲
Bass۱۹۸۰	۱,۵۶۲۷	۱,۶۰۷۳		۱,۱۸۴۲
CW۱۹۷۶	۱,۴۷۶۷	۱,۵۱۵۷		۱,۱۵۱۲
BW۱۹۹۱	۱,۴۶۲۵	۱,۴۹۷۷		۱,۱۷۲۰
Ngo۱۹۸۰	۲,۹۷۱۴	۲,۹۴۵۶		۳,۱۵۴۰
Denisov	۲,۰۱۲۷	۱,۹۹۰۴		۲,۱۶۹۹
Denisov-DP	۲,۸۴۳۸	۲,۹۶۸۷		۱,۶۶۰۵
AW۹۵	۱,۵۵۶۴	۱,۵۶۷۵		۱,۴۷۲۲
Dutt۲۰۱۱	۱,۷۴۳۵	۱,۷۷۵۱		۱,۴۹۱۱

از آنجایی که فرایند همجوشی در ناحیه‌ای که چگالی دو هسته برهم‌کنشی در برد نیروهای هسته‌ای قرار گرفته و شروع به همپوشانی می‌کنند، رخ می‌دهد، لذا دنباله بخش پتانسیل هسته‌ای در شکل گیری پتانسیل کل بیشترین سهم را داشته و این بخش از پتانسیل نقش مؤثرتری را در مطالعات نظری واکنش‌های همجوشی در مقایسه با بخش داخلی پتانسیل دارد. از این‌رو در شکل گیری پتانسیل بین دو هسته بیشترین تأثیر را نوکلئون‌های سطحی دارند، لذا یکی از کمیت‌های مؤثر در شکل گیری پتانسیل هسته‌ای تقارن‌های ایزواسپینی است. از این‌رو در ادامه این تحقیق، واکنش‌های انتخابی را در سه دسته تقارنی ایزوباریک، ایزوتوبیک و ایزوتونیک دسته‌بندی نموده‌ایم. در هر یک از این دسته‌بندی‌ها به ترتیب مجموعه‌ای از واکنش‌ها انتخاب شده‌اند که مقادیر Z و A هسته مركب متناظر با هر گروه از واکنش‌ها مقدار ثابتی داشته باشد. مقادیر Z و A به ترتیب عدد اتمی، عدد نوترونی و عدد جرمی هسته مركب می‌باشند مقادیر تجربی سد همجوشی از مراجع [۱۵، ۲] و [۱۵]



شکل ۱. مقادیر خطای نسبی حاصل از مطالعه مقادیر تجربی ارتفاع سد همجوشی توسط نسخه‌های مختلف پتانسیل مجاورتی برای تمام واکنش‌های انتخابی و واکنش‌ها در حالت‌های ایزوباریک، ایزوتوبیک و ایزوتونیک برای هسته مرکب.

همان‌طور که در شکل ۱ مشاهده می‌شود، نسخه BW۱۹۹۱ در مقایسه با سایر نسخه‌های پتانسیل مجاورت دارای کمترین خطای نسبی است. در این تحقیق، به این موضوع پرداخته شده است که نسخه‌ای که دارای کمینه خطای نسبی است، آیا مقادیر سد همجوشی را برای همه گروه‌های واکنشی در بهترین توافق پیش‌بینی می‌کند و یا این فرمالیزم انتخابی، به علت پیش‌بینی بسیار خوب مقادیر سد همجوشی برای برخی از واکنش‌ها، خطای نسبی برای آن کمینه گردیده است. در این صورت می‌توان انتظار داشت به جای یک مدل، مدل‌های مختلف مقادیر سد همجوشی را برای گروه‌های واکنشی متفاوت با کمترین خطای پیش‌بینی کنند. برای بررسی دقیق‌تر خطای نسبی بین مدل‌های مختلف در جدول ۲ مقایسه شده‌اند. به عنوان نمونه مقادیر خطای نسبی برای دو نسخه BW۱۹۹۱ و BW۱۹۹۰ به ترتیب برابر ۱,۴۶۲۵ و ۲,۰۱۲۷ می‌باشند، اختلاف مقادیر خطای نسبی بین این دو مدل قبل ملاحظه می‌باشد. همان‌طور که مشاهده می‌شود، عدمه اختلاف پیش‌بینی این دو مدل برای واکنش‌های در محدوده $Z_1, Z_2 > 1000$ می‌باشد، که Z_1 و Z_2 به ترتیب عدد اتمی هسته هدف و پرتابه می‌باشند. بررسی که انجام گرفته نشان می‌دهد، این مطلب برای اکثر مدل‌ها برقرار است. از این‌رو مقادیر ارتفاع سد همجوشی برای تمام واکنش‌های انتخابی با تقسیم‌بندی به دو بازه $Z_1, Z_2 > 1000$ و $Z_1, Z_2 < 1000$ توسط نسخه‌های مختلف فرمالیزم مجاورتی به صورت سیستماتیک بررسی کرده‌ایم. همان‌طور که از جدول ۲ ملاحظه می‌شود، در بازه‌های BW۱۹۹۱ و $Z_1, Z_2 < 1000$ به ترتیب مدل‌های ModProx۸۸ و دارای کمترین خطای نسبی می‌باشند.



در جدول ۳ ارایه شده‌اند. همان‌طور که مشاهده می‌شود در $A < 30$ و $A > 300$ به ترتیب خطای نسبی نسخه‌های Prox.00DP و ModProx۸۸ از نسخه BW۱۹۹۱ کمتر می‌باشد.

به طور مشابه پیش‌بینی سایر مدل‌ها برای واکنش‌های انتخابی با تقارن ایزوتوپی و ایزوتوونی در جدول‌های ۴ و ۵ مقایسه شده‌اند. نتایج حاصل نشان می‌دهند، نسخه‌های CW۱۹۷۶ در مقایسه با نسخه BW۱۹۹۱ براحتی با نتایج حاصل نشان داده‌اند. نتایج حاصل در بازه Bass۱۹۸۰ و ModProx۸۸ در بازه Z۱۱۲ و نسخه CW۱۹۷۶ در بازه Z۲۰ دارای خطای نسبی کمتری در مقایسه با نسخه BW۱۹۹۱ براحتی با نتایج حاصل نشان داده‌اند. نتایج حاصل در بازه N۱۰۰ و N۴۰ دارای خطای نسبی کمتری در مقایسه با نسخه BW۱۹۹۱ می‌باشد.

جدول ۳. مقادیر خطای نسبی نسخه‌های مختلف مجاورتی در پیش‌بینی مقادیر سد همجوشی واکنش‌های انتخابی با تقارن ایزوباری. خطای نسبی محاسبه شده برای ۱۴۶ واکنش انتخابی جدول ۲ در ستون دوم ارایه شده است. تعداد کل واکنش‌ها در هر بازه انتخابی داخل پرانتز نشان داده شده‌اند

مدل‌های مجاورت	تمامی سیستم‌های ایزوباریک (۱۴۶)	$A \leq 30$	$30 < A \leq 60$	$60 < A \leq 100$	$100 < A \leq 200$	$200 < A$
		(۱۲)	(۳۱)	(۴۷)	(۴۱)	(۱۴)
Prox.۷۷	۲,۲۰۹۷	۲,۲۴۶۰	۲,۱۶۵۳	۲,۳۲۵۸	۲,۱۴۳۵	۲,۰۵۱۴
Prox.۶۶	۱,۹۸۸۵	۱,۹۶۱۷	۱,۹۷۹۸	۲,۱۰۶۳	۱,۹۰۹۳	۱,۸۳۴۲
Prox.۷۶	۱,۳۳۱۳	۱,۲۸۹۴	۱,۷۳۷۲	۱,۳۲۵۵	۰,۸۸۵۳	۱,۰۵۲۲
Prox.۷۹	۱,۴۹۸۳	۱,۳۴۴۰	۱,۶۶۳۲	۱,۵۷۴۳	۱,۳۱۳۰	۱,۳۷۹۲
Prox۸۱-I	۱,۵۹۳۳	۱,۴۶۰۹	۱,۷۰۷۷	۱,۶۹۲۸	۱,۴۴۲۴	۱,۴۴۱۳
Prox۸۱-II	۱,۴۳۷۶	۱,۲۹۳۷	۱,۶۵۴۴	۱,۵۱۲۵	۱,۲۰۴۰	۱,۲۴۸۸
Prox۸۱-III	۱,۴۶۷۷	۱,۳۲۲۴	۱,۶۵۹۹	۱,۵۴۹۷	۱,۲۵۵۶	۱,۲۸۸۳
Prox.۸۴	۲,۲۳۷۸	۲,۲۵۶۶	۲,۱۶۷۵	۲,۳۴۱۵	۲,۱۹۳۱	۲,۱۶۰۳
Prox.۸۸	۱,۴۶۶۲	۱,۳۲۲۲	۱,۶۶۰۲	۱,۵۴۹۶	۱,۲۵۱۹	۱,۲۷۸۶
Prox.۹۵	۱,۴۶۲۵	۱,۳۱۸۱	۱,۶۵۹۱	۱,۵۴۴۵	۱,۲۴۶۱	۱,۲۷۶۴
Prox.۰-۳-I	۱,۷۸۶۹	۱,۷۰۰۷	۱,۸۲۵۷	۱,۸۹۹۳	۱,۶۸۴۵	۱,۶۴۳۴
Prox.۰-۳-II	۲,۳۰۱۸	۲,۳۹۵۱	۲,۲۷۴۶	۲,۴۲۹۶	۲,۲۱۱۲	۲,۰۴۲۲
Prox.۰-۳-III	۲,۳۷۴۹	۲,۴۴۷۶	۲,۳۰۲۲	۲,۴۸۴۶	۲,۳۲۹۳	۲,۲۶۹۹
ModProx۸۸	۱,۳۹۰۷	۱,۰۵۰۷	۱,۹۷۸۲	۱,۳۲۸۱	۰,۶۴۱۹	۰,۷۰۲۴
Prox.۲۰۱۰	۱,۴۷۵۶	۱,۳۲۴۶	۱,۷۳۴۴	۱,۵۱۶۰	۱,۲۳۶۱	۱,۲۹۶۳
Prox.۰۰	۲,۷۴۹۲	۴,۰۱۷۹	۲,۷۴۸۴	۲,۵۰۷۴	۲,۴۲۰۵	۲,۴۱۸۲
Pro.00DP	۱,۶۰۲۹	۱,۲۱۲۹	۱,۷۸۵۶	۱,۷۰۷۰	۱,۴۷۲۶	۱,۴۵۷۶
Bass۱۹۷۳	۶,۲۶۶۶	۱۳,۳۶۱	۷,۶۷۵۳	۳,۱۹۲۷	۱,۷۸۳۳	۲,۸۱۲۴
Bass۱۹۷۷	۱,۳۴۷۳	۱,۴۱۹۴	۱,۷۳۱۹	۱,۳۱۹۹	۰,۸۱۹۱	۱,۲۱۷۹
Bass۱۹۸۰	۱,۳۱۶۹	۱,۳۲۹۰	۱,۸۱۵۲	۱,۳۲۴۳	۰,۷۲۴۹	۰,۷۰۹۷
CW۱۹۷۶	۱,۲۸۴۷	۱,۴۷۸۵	۱,۷۱۹۳	۱,۲۹۴۴	۰,۶۷۲۷	۰,۷۹۶۴
BW۱۹۹۱	۱,۲۷۰۹	۱,۶۰۳۴	۱,۶۲۰۷	۱,۲۷۵۵	۰,۶۶۵۱	۰,۸۳۴۲
Ngo۱۹۸۰	۲,۸۹۱۵	۲,۳۳۷۹	۲,۵۶۲۶	۲,۹۳۴۷	۲,۹۳۰۰	۲,۸۹۲۱
Denisov	۱,۶۳۱۲	۱,۷۷۵۵	۱,۹۰۹۰	۱,۵۳۳۱	۱,۳۷۷۸	۱,۵۱۶۶
Den-DP	۲,۴۴۰۷	۴,۵۹۶۱	۲,۹۷۰۹	۱,۷۳۲۴	۱,۲۲۶۳	۱,۰۶۷۴
AW۹۵	۱,۳۲۶۳	۱,۴۴۶۴	۱,۶۸۶۳	۱,۳۲۸۲	۰,۸۳۸۴	۱,۰۴۵۲
Dutt۲۰۱۱	۱,۵۷۱۵	۱,۶۲۰۷	۱,۷۷۱۴	۱,۶۳۵۴	۱,۲۶۲۷	۱,۳۸۸۸

مراجع داخل آن‌ها استخراج شده است. در ابتدا کلیه واکنش‌های انتخابی در هر گروه تقارنی را با استفاده از مدل‌های مختلفی مجاورتی به صورت مجزا مورد بررسی قرار داده‌ایم. خطای نسبی هر یک از این مدل‌ها با استفاده از رابطه (۱) برای هر یک از مجموعه واکنش‌های ایزوباریک، ایزوتوپیک و ایزوتوونیک در شکل ۱ نشان داده شده است. همان‌طور که از این نمودار مشاهده می‌شود، خطای نسبی به دست آمده از پتانسیل BW۱۹۹۱ برای تمام گروه‌ها همچنان از سایر نیروهای انتخابی کمتر می‌باشد.

در ادامه، کلیه مدل‌های مجاورتی انتخابی را در پیش‌بینی مشخصات سد همجوشی برای واکنش‌های انتخابی در گروه تقارنی ایزوباری را با جزئیات بیشتر مطالعه قرار داده‌ایم. برای این منظور خطای نسبی مدل‌های انتخابی را در بازه‌های مختلف عدد جرمی محاسبه نموده‌ایم. نتایج حاصل از محاسبات



در این تحقیق، برای بهدست آوردن فرمالیزم مجاورت مطلوب، از داده‌های تجربی ارتفاعات سد همچو شی استفاده نموده‌ایم. این مقادیر معمولاً با استفاده از کمیت توزیع سد همچو شی محاسبه می‌شوند؛ بنابراین، مقادیر محاسبه شده برای ارتفاعات سد همچو شی وابسته به ضریب انتقال سد پتانسیل هستند. در نتیجه برای بازتولید سطح مقطع همچو شی، ارزیابی مشخصات نسخه‌های انتخاب شده فرمالیزم مجاورت با استفاده از این روش مطلوب به نظر می‌رسد. بدین منظور، سطح مقطع‌های همچو شی واکنش‌های $^{40}Ca + ^{90}Zr$, $^{40}Ca + ^{40}Ca$ و $^{232}S + ^{208}Pb$ را به عنوان نمونه بررسی نموده‌ایم. این واکنش‌ها از سیستم‌هایی با تقارن ایزوتوپی که عدددهای اتمی آن‌ها به ترتیب بین بازه $50 < Z < 70$ و $70 < Z < 112$ می‌باشند انتخاب می‌شوند. در این تحقیق، سطح مقطع همچو شی در انرژی‌های بزرگ‌تر از سد همچو شی با استفاده از رابطه (۸) محاسبه شده‌اند:

$$\sigma(E) = \pi R_B^2 \left(1 - \frac{V_B}{E}\right) \quad (8)$$

در این رابطه V_B و R_B به ترتیب موقعیت و ارتفاع سد همچو شی می‌باشند. این رابطه به علت وابستگی منحصر به فرد با ویژگی‌های سد همچو شی انتخاب شده است. نتایج حاصل از محاسبه سطح مقطع همچو شی با استفاده از رابطه (۸) برای واکنش‌های انتخابی در شکل ۲ نشان داده شده است. همان‌طور که مشاهده می‌شود، در انرژی‌های بزرگ‌تر از سد همچو شی، فرمالیزم‌های $BW1991$, $CW1976$ و $Bass1980$ در مقایسه با نسخه‌های دیگر مجاورت، در توافق بهتری با داده‌های تجربی سطح مقطع همچو شی می‌باشند. با توجه به جدول ۴، این نسخه‌ها به ترتیب در بازه‌های $50 < Z \leq 70$ و $70 < Z \leq 112$ کمترین خطای نسبی را دارند. همان‌طور که در شکل ۲ ملاحظه می‌شود، نسخه‌هایی از فرمالیزم مجاورت که داده‌های تجربی پیش‌بینی می‌کنند، همچنین دارای توافق مناسب‌تری در محاسبه سطح مقطع همچو شی می‌باشند. همان‌طور که در شکل ۲ مشاهده می‌شود، با افزایش انرژی پرتابه سطح مقطع همچو شی افزایش می‌یابد. این مطلب ناشی از افزایش مقادیر ضریب عبور در انرژی‌های بالاتر از سد همچو شی می‌باشد.

جدول ۴. مقادیر خطای نسبی نسخه‌های مختلف مجاورتی در پیش‌بینی مقادیر سد همچو شی واکنش‌های انتخابی با تقارن ایزوتوپیک. خطای نسبی محاسبه شده برای ۱۴۸ واکنش در ستون دوم ارایه شده است. تعداد کل واکنش‌ها در سایر بازه‌ها در داخل پرانتز نشان داده شده‌اند

مدلهای مجاورت	تمامی سیستم‌های ایزوتوپیک (۴۸)	$Z \leq 50$ (۱۰۷)	$50 < Z \leq 70$ (۲۶)	$70 < Z \leq 112$ (۱۵)
Prox.۷۷	۲,۱۷۱۹	۲,۱۵۴۰	۲,۱۸۹۳	۲,۲۶۳۴
Prox.۶۶	۱,۹۵۹۹	۱,۹۴۵۶	۱,۹۵۷۶	۲,۰۶۱۰
Prox.۷۶	۱,۳۵۶۰	۱,۴۴۶۷	۰,۹۲۶۸	۱,۳۵۰۳
Prox.۷۹	۱,۵۰۱۷	۱,۵۱۲۹	۱,۳۶۹۹	۱,۶۴۳۰
Prox.۸۱-I	۱,۵۸۶۹	۱,۵۹۳۳	۱,۳۹۴۸	۱,۶۹۹۰
Prox.۸۱-II	۱,۴۴۳۸	۱,۴۷۷۰	۱,۲۵۴۷	۱,۵۲۴۶
Prox.۸۱-III	۱,۴۷۱۰	۱,۴۹۷۵	۱,۳۰۶۹	۱,۵۶۰۲
Prox.۸۴	۲,۰۲۴	۲,۱۶۶۶	۲,۲۵۴۷	۲,۳۶۵۹
Prox.۸۸	۱,۴۶۹۲	۱,۴۹۷۳	۱,۳۰۲۵	۱,۵۵۱۴
Prox.۹۵	۱,۴۶۶۰	۱,۴۹۴۴	۱,۲۹۶۹	۱,۵۴۹۴
Prox.۰۳-I	۱,۷۶۸۶	۱,۷۵۹۹	۱,۷۳۵۷	۱,۸۸۴۴
Prox.۰۴-II	۲,۲۵۶۵	۲,۲۵۹۰	۲,۲۴۸۰	۲,۲۵۴۲
Prox.۰۴-III	۲,۳۳۷۵	۲,۳۰۷۸	۲,۳۷۷۵	۲,۴۶۸۱
ModPro۸۸	۱,۴۱۸۲	۱,۶۰۳۰	۰,۶۰۳۷	۱,۰۳۲۸
Prox.۲۰۱۰	۱,۴۸۸۷	۱,۵۲۴۱	۱,۲۷۹۸	۱,۵۸۳۹
Prox.۰۰	۲,۵۹۶۲	۲,۶۳۵۰	۲,۴۳۳۷	۲,۶۰۵۸
Prox.۰۰DP	۱,۶۱۹۶	۱,۶۲۹۸	۱,۵۱۶۱	۱,۷۲۴۶
Bass۱۹۷۳	۵,۶۶۱۵	۶,۵۰۸۹	۲,۱۸۰۷	۲,۹۹۷۸
Bass۱۱۷۷	۱,۳۵۵۶	۱,۴۳۷۳	۰,۸۷۸۱	۱,۴۶۹۶
Bass۱۹۸۰	۱,۳۴۶۱	۱,۴۹۶۲	۰,۷۵۴۸	۱,۰۲۹۹
CW۱۹۷۶	۱,۱۷۶۰	۱,۴۳۱۵	۰,۵۱۴۴	۱,۰۶۰۷
BW۱۹۹۱	۱,۱۳۸۸	۱,۳۶۵۹	۰,۵۲۴۷	۱,۱۳۰۷
Ngo۱۹۸۰	۲,۸۲۶۶	۲,۷۳۲۱	۳,۰۳۷۷	۳,۰۷۲۹
Denisov	۱,۶۴۱۷	۱,۶۴۷۲	۱,۵۳۶۷	۱,۷۸۰۱
DP	۲,۱۶۶۴	۲,۵۳۳۵	۱,۴۲۳۴	۱,۳۲۸۳
AW۹۵	۱,۳۳۴۲	۱,۴۲۵۵	۰,۹۷۷۹	۱,۳۲۴۴
Dutt۲۰۱۱	۱,۵۳۴۷	۱,۵۶۹۶	۱,۳۲۷۳	۱,۶۳۳۰

جدول ۵. مقادیر خطای نسبی نسخه‌های مختلف مجاورتی در پیش‌بینی مقادیر سد همچو شی واکنش‌های انتخابی با تقارن ایزوتوپیک. خطای نسبی محاسبه شده برای ۱۱۹ واکنش انتخابی ستون دوم ارایه شده است. تعداد کل واکنش‌ها در سایر بازه‌ها در داخل پرانتز نشان داده شده‌اند

مدلهای مجاورت	تمامی سیستم‌های ایزوتوپیک (۱۱۹)	$N \leq 40$ (۳۹)	$40 < N \leq 100$ (۶۴)	$N > 100$ (۱۶)
Prox.۷۷	۲,۲۹۸۴	۲,۲۶۹۲	۲,۲۹۱۲	۲,۱۴۷۲
Prox.۶۶	۲,۰۹۷۳	۲,۲۱۷۸	۲,۰۵۵۸	۱,۹۵۴۷
Prox.۷۶	۱,۵۱۶	۲,۱۳۴۰	۱,۴۲۸	۱,۳۱۳۴
Prox.۷۹	۱,۶۶۳۷	۲,۰۰۸۸	۱,۴۴۰۹	۱,۵۶۳۹
Prox.۸۱-I	۱,۷۴۸۸	۲,۰۲۶۳	۱,۵۸۵۴	۱,۶۱۳۸
Prox.۸۱-II	۱,۶۱۱۱	۲,۰۱۱۶	۱,۳۴۲۸	۱,۴۵۶۴
Prox.۸۱-III	۱,۶۳۶۹	۲,۰۰۹۱	۱,۴۰۲۲	۱,۴۸۷۸
Prox.۸۴	۲,۳۲۵۰	۲,۳۷۲۰	۲,۳۱۶۳	۲,۲۴۲۹
Prox.۸۸	۱,۶۳۵۵	۲,۰۰۹۱	۱,۴۰۲۳	۱,۴۷۹۷
Prox.۹۵	۱,۶۳۲۴	۲,۰۰۹۲	۱,۳۹۵۸	۱,۴۷۸۰
Prox.۰۳-I	۱,۹۱۶۵	۲,۱۰۲۰	۱,۸۲۷۲	۱,۷۸۷۱
Prox.۰۳-II	۲,۳۸۱۶	۲,۴۶۰۹	۲,۳۸۹۹	۲,۱۳۹۴
Prox.۰۳-III	۲,۴۵۴۶	۲,۴۸۶۸	۲,۴۶۳۲	۲,۳۳۸۹
ModPro۸۸	۱,۵۶۸۸	۲,۲۸۳۶	۰,۹۰۱۴	۱,۰۹۷۴
Prox.۲۰۱۰	۱,۶۹۵۵	۲,۱۹۴۰	۱,۳۵۳۶	۱,۵۲۲۸
Prox.۰۰	۲,۶۷۹۴	۲,۰۸۶۸	۲,۴۷۷۴	۲,۰۶۹۷
Prox.۰۰DP	۱,۸۲۰۹	۲,۱۸۱۱	۱,۶۱۲۶	۱,۶۳۱۸
Bass۱۹۷۳	۵,۵۳۶۱	۹,۱۸۵۳	۱,۹۷۹۸	۲,۵۷۲۳
Bass۱۹۷۷	۱,۴۷۹۴	۲,۰۷۲۲	۰,۹۸۶۹	۱,۳۸۴۳
Bass۱۹۸۰	۱,۵۰۶۵	۲,۱۱۰	۰,۷۹۷۱	۱,۶۴۸
CW۱۹۷۶	۱,۴۱۲۲	۲,۰۷۲۵	۰,۷۷۲۴	۱,۱۵۷۵
BW۱۹۹۱	۱,۳۸۲۴	۱,۹۸۶۲	۰,۸۹۷۷	۱,۱۶۵۶
Ngo۱۹۸۰	۲,۹۱۱۴	۲,۷۵۶۱	۳,۰۰۴۵	۲,۹۰۱۳
Denisov	۱,۸۳۷۰	۲,۴۳۷۴	۱,۴۱۲۵	۱,۶۲۴۱
Denisov -	۲,۳۹۸۳	۳,۷۶۴۹	۱,۱۶۵۴	۱,۶۷۲۱
DP	۱,۴۶۹۹	۲,۰۵۳۰	۱,۰۲۶۲	۱,۲۵۸۵
AW۹۵	۱,۷۰۶۵	۲,۰۸۹۸	۱,۴۷۷۲	۱,۵۱۱۹
Dutt۲۰۱۱	۱,۷۰۶۵	۲,۰۸۹۸	۱,۴۷۷۲	۱,۵۱۱۹



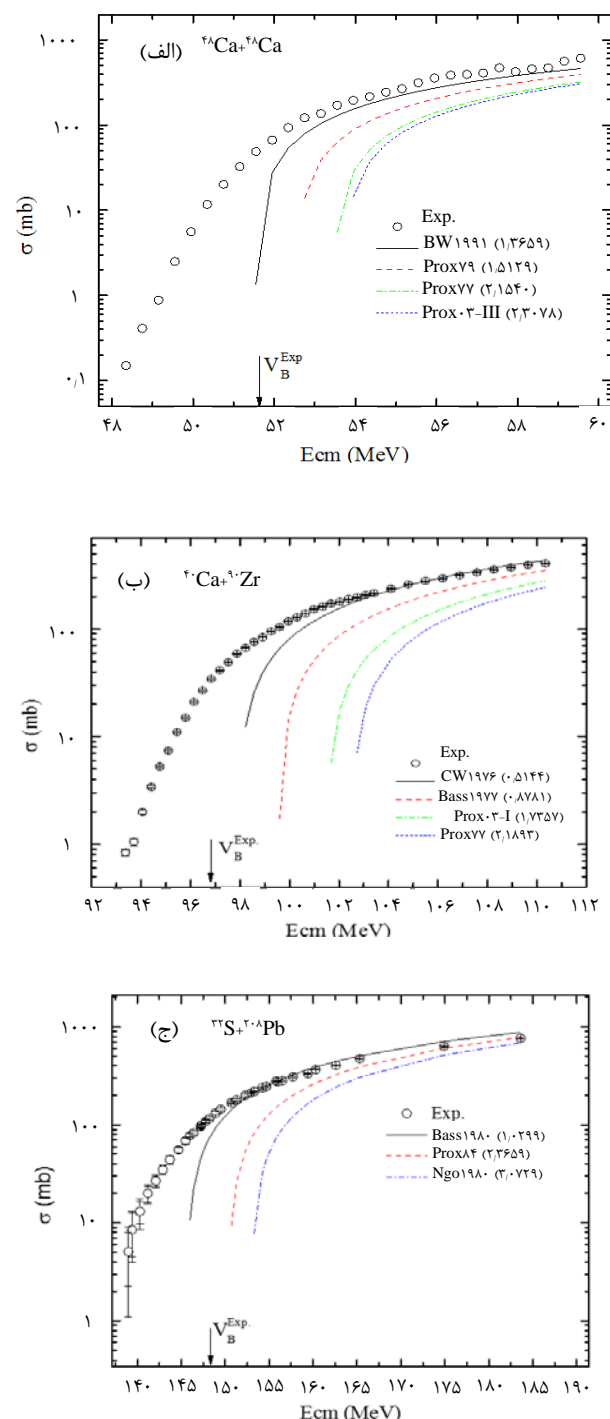
۴. خلاصه و نتیجه‌گیری

در این مقاله با استفاده از فرمالیزم‌های مجاورتی، ارتفاعات سد همجوشی برای ۲۷۰ واکنش را مورد بررسی قرار گرفته است. نتایج تحقیق نشان می‌دهد، نسخه BW1۹۹۱ کمترین خطای نسبی در پیش‌بینی نظری مقادیر ارتفاع سد همجوشی در واکنش‌های انتخاب شده را دارد. با توجه به اهمیت درجات آزادی ایزوسپین بر روی محاسبه بخش هسته‌ای از پتانسیل کل بین دو هسته برهمنشی، واکنش‌های همجوشی را در تقارن‌های ایزوسپین مختلف بررسی نمودایم. نتایج حاصل نشان می‌دهد، اگرچه نسخه BW1۹۹۱ دارای بهترین دقت در پیش‌بینی ارتفاع سد همجوشی برای ۲۷۰ واکنش انتخابی می‌باشد، اما این نسخه از پتانسیل مجاورتی نمی‌تواند مشخصات سد همجوشی را برای واکنش‌های همجوشی با تقارن‌های مختلف ایزوسپینی را به خوبی توصیف کند. لذا نتایج حاصل نشان می‌دهد، برای پیش‌بینی مقادیر سد همجوشی، از نسخه‌های مختلف فرمالیزم‌های مجاورتی، به جای یک تک نسخه، استفاده گردد. نسخه‌های انتخابی بر اساس کمترین خطای در پیش‌بینی ارتفاع سد همجوشی به ازای تقارن‌های مختلف ایزوسپینی در جدول ۶ دسته‌بندی شده‌اند.

نتایج حاصل از محاسبات نشان می‌دهد، در واکنش‌های با تقارن ایزوباریک که در آن $A > 100$ می‌باشد استفاده از BW1۹۹۱ بسیار کارآمدتر از ModDProx۸۸ این که برای واکنش‌های با تقارن‌های ایزوتپیک و ایزوتونیک که در آن $Z > 70$ و $N > 100$ می‌باشد Bass1۹۸۰ مورد استفاده قرار گیرد. به خاطر وابستگی این تحقیق‌ها به ضریب‌های انتقال، توصیه می‌گردد این مطالعه براساس استفاده از داده‌های تجربی سطح مقطع همجوشی نیز انجام شود. یکی از دلایل موفقیت مدل BW1۹۹۱ در توصیف مناسب‌تر ارتفاع سد همجوشی در مقایسه با سایر مدل‌ها فرم و وزن-سکسونی این پتانسیل می‌باشد که از فرم‌های موفق پتانسیل در توصیف پتانسیل‌های هسته‌ای است. همچنین مدل ModDProx۸۸ از گروه مدل‌هایی است که با استفاده از اطلاعات خواص ماده هسته‌ای بهینه سازی شده است [۲۸].

جدول ۶. مدل‌های مناسب برای پیش‌بینی ارتفاع سد همجوشی برای واکنش‌ها با تقارن‌های ایزوباریک، ایزوتونیک و ایزوتپیک

نوع واکنش	دامنه	تعداد واکنش‌ها	نمودار ایزوسپین
ایزوباریک	$A \leq 30$	۱۶	Prox00DP
	$30 < A \leq 60$	۳۶	BW1۹۹۱
	$60 < A \leq 100$	۴۵	BW1۹۹۱
	$100 < A \leq 200$	۳۳	ModDProx۸۸
	$200 < A$	۱۴	ModDProx۸۸
	$Z \leq 50$	۱۰۵	BW1۹۹۱
ایزوتپیک	$50 < Z \leq 70$	۲۷	CW1۹۷۶
	$70 < Z$	۱۵	Bass1۹۸۰
	$N \leq 40$	۳۹	BW1۹۹۱
ایزوتونیک	$40 < A \leq 100$	۶۴	CW1۹۷۶
	$100 < N$	۱۶	Bass1۹۸۰



شکل ۲. مقایسه بین محاسبه تئوری سطح مقطع همجوشی (الف) $^{48}\text{Ca} + ^{48}\text{Ca}$ ، (ب) $^{48}\text{Ca} + ^{90}\text{Zr}$ و (ج) $^{34}\text{S} + ^{208}\text{Pb}$ با استفاده از مشخصه برخی نسخه‌های پتانسیل مجاورتی و داده‌های تجربی سطح مقطع همجوشی [۳۵-۳۳]. برهم‌کنش‌های انتخاب شده از سیستم $Z < 50 < Z < 70 < Z < 112$ هستند، همچنین مقادیر خطاًی از مطالعه داده‌های تجربی ارتفاع‌های سد همجوشی مطابق با هر یک از این نسخه‌های مجاورتی انتخابی در پرانتزاً نشان داده شده‌اند. مقادیر ارتفاع سد همجوشی روی محور ارزی مشخص شده‌اند.



مراجع

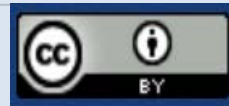
1. A.B. Balantekin, N. Takigawa, *Review of Modern Physics*, 70 (1998) 77; L.C. Vaz, J.M. Alexander, G.R. Satchler, *Fusion barriers, empirical and theoretical: Evidence for dynamic deformation in subbarrier fusion*, *Physics Reports*, **69**, 373 (1981).
2. D.G. Kovar, et al., *Systematics of carbon- and oxygen-induced fusion on nuclei with $12 \leq A \leq 19$* , *Physical Review C.*, **20**, 1305 (1979).
3. E.F. Aguilera, et al., *Search for structure in the fusion of $^{28}Si + ^{28,30}Si$ and $^{30}Si + ^{30}Si$* , *Physical Review C.*, **33**, 1961 (1986).
4. D. Shapira, et al., *Fusion and peripheral processes in the collisions of $^{20}Ne + ^{20}Ne$ and $^{20}Ne + ^{16}O$* , *Physical Review C.*, **28**, 1148 (1983).
5. R. Kumari, R.K. Puri, *Parametrization of fusion barriers based on empirical data*, *Nuclear Physics A.*, **933**, 135 (2015).
6. N.K. Dhiman, R.K. Puri, *A comparative study of isotopic dependence of fusion dynamics for Ca-Ni colliding series*, *Acta Physica Polonica B.*, **37**, 1855 (2006).
7. O.N. Ghodsi, R. Gharaei, *The European Physical Journal A* 48 (2012) 21; O.N. Ghodsi, R. Gharaei, and F. Lari, *Physical Review C* 86 (2012) 024615; O.N. Ghodsi and A. Moradi, *Physical Review C* 89 (2014) 064612; M. Salehi and O.N. Ghodsi, *International Journal of Modern Physics E* 20, 11 (2011) 2337; O.N. Ghodsi, H.R. Moshfegh and R. Gharaei, *Physical Review C.*, **88**, 034601 (2013).
8. V.Y. Denisov, *Interaction potential between heavy ions*, *Physics Letters B.*, **526**, 315 (2002).
9. R. Bass, *Threshold and angular momentum limit in the complete fusion of heavy ions*, *Physics Letters B.*, **47**, 139 (1973); *Nuclear Physics A.*, **231**, 45 (1974).
10. C. Ngo, et al., *Properties of heavy ion interaction potentials calculated in the energy density formalism*, *Nuclear Physics A.*, **252**, 237 (1975).
11. J. Blocki, et al, *Proximity forces Annals of Physics*, **105**, 427 (1977).
12. I. Dutt, R.K. Puri, *Systematic study of the fusion barriers using different proximity-type potentials for $N=Z$ colliding nuclei: New extensions*, *Physical Review C.*, **81**, 044615 (2010). I. Dutt, R.K. Puri, *Systematic study of the fusion barriers using different proximity-type potentials for $N=Z$ colliding nuclei: New extensions*, *Physical Review C.*, **81**, 047601 (2010); S. Gautam, A.D. Sood, R.K. Puri, J. Aichelin, *Sensitivity of the transverse flow to the symmetry energy*, *Physical Review C.*, **83**, 034606 (2011).
13. R.K. Puri, M.K. Sharma, R.K. Gupta, *Isotopic dependence of fusion cross-sections-linear relationships*, *The European Physical Journal A-Hadrons and Nuclei.*, **3**, 277 (1998).
14. W.D. Myers, W.J. Swiatecki, *Nuclear masses and deformations*, *Nuclear Physics*, **81**, 1 (1966).
15. P. Moller, J.R. Nix, *Macroscopic potential-energy surfaces for symmetric fission and heavy-ion reactions*, *Nuclear Physics A.*, **272**, 502 (1976).
16. H.J. Krappe, J.R. Nix, *Unified nuclear potential for heavy-ion elastic scattering, fusion, fission, and ground-state masses and deformations*, *Physical Review C.*, **20**, 992 (1979).
17. P. Moller, J.R. Nix, *Nuclear mass formula with a Yukawa-plus-exponential macroscopic model and a folded-Yukawa single-particle potential*, *Nuclear Physics A.*, **361**, 117 (1981).
18. G. Royer, B. Remaud, *Fission processes through compact and creviced shapes*, *Journal of Physics G.*, **10**, 1057 (1984).
19. P. Moller, J.R. Nix, *Nuclear masses from a unified macroscopic-microscopic model*, *Atomic Data and Nuclear Data Tables*, **39**, 213 (1988).
20. P. Moller, et al, *Nuclear ground-state masses and deformations*, *Atomic Data and Nuclear Data Tables*, **59**, 185 (1995).
21. K. Pomorski, J. Dudek, *Nuclear liquid-drop model and surface-curvature effects*, *Physical Review C.*, **67**, 044316 (2003).
22. R. Kumar, M.K. Sharma, *Systematic study of various proximity potentials in Pb-daughter cluster radioactivity*, *Physical Review C.*, **85**, 054612 (2012).
23. W.D. Myers, W.J. Swiatecki, *Nucleus-nucleus proximity potential and superheavy nuclei*, *Physical Review C.*, **62**, 044610 (2000).
24. I. Dutt, R. Bansal, *A modified proximity approach in the fusion of heavy ions*, *Chinese Physics Letters*, **27**, 112402 (2010).
25. R. Bass, *Fusion of heavy nuclei in a classical model*, *Nuclear Physics A.*, **231**, 45 (1974).
26. R. Bass, *Nucleus-nucleus potential deduced from experimental fusion cross sections*, *Physical Review Letters*, **39**, 265 (1977).
27. P.R. Christensen, A. Winther, *The evidence of the ion-ion potentials from heavy ion elastic scattering*, *Physics Letters B.*, **65**, 19 (1976).
28. W. Reisdorf, *Heavy-ion reactions close to the Coulomb barrier*, *Journal of Physics G: Nuclear and Particle Physics*, **20**, 1297 (1994).
29. A. Winther, *Dissipation, polarization and fluctuation in grazing heavy-ion collisions and the boundary to the chaotic regime*, *Nuclear Physics A.*, **594**, 203 (1995).
30. R.A. Broglia, A. Winther, *Heavy-Ion Reactions*, (Addison-Wesley, New York, 1991), Parts I and II FIP Lecture Notes Series.
31. V.Yu. Denisov, *Interaction potential between heavy ions*, *Physics Letters B.*, **526**, 315 (2002).



32. H. Ngo, C. Ngo, *Calculation of the real part of the interaction potential between two heavy ions in the sudden approximation*, *Nuclear Physics A.*, **348**, 140 (1980).
33. M. Trotta, et al, *Sub-barrier fusion of the magic nuclei $^{40,48}Ca + ^{48}Ca$* , *Physical Review C.*, **65**, 011601 (2001).
34. H. Timmers, et al, *A case study of collectivity, transfer and fusion enhancement*, *Nuclear Physics A.*, **633**, 421 (1998).
35. D.J. Hinde, et al, *Isotopic dependence of fusion barrier energies in reactions forming heavy elements*, *Physical Review C.*, **75**, 054603 (2007).

COPYRIGHTS

©2021 The author(s). This is an open access article distributed under the terms of the Creative Commons Attribution (CC BY 4.0), which permits unrestricted use, distribution, and reproduction in any medium, as long as the original authors and source are cited. No permission is required from the authors or the publishers.



استناد به این مقاله

مهرداد دوانلو، امید ناصر قدسی، سید محمد متولی (۱۴۰۱)، رفتار ارتفاع سد پتانسیل در واکنش همجوشی یون‌های سنگین، *۳۰-۳۸*، ۱۰۱DOI: 10.24200/nst.2022.1444Url: https://jonsat.nstri.ir/article_1444.html